

УДК 624.07:534.1

ЧИСЛЕННЫЙ РАСЧЕТ ТРЕХМЕРНОГО НАПРЯЖЕННОГО СОСТОЯНИЯ
СТЕРЖНЯ ПРИ УДАРЕ ЧАСТЬЮ БОКОВОЙ ПОВЕРХНОСТИ

КОРНЕЕВ А. И., ШУТАЛЕВ В. Б.

Анализ численного решения задач о соударении стержня с плитой, когда все искомые величины, описывающие напряженно-деформированное состояние соударяющихся тел, являются функциями трех пространственных переменных и времени, проведен в [1, 2]. Рассмотрены задачи о соударении деформируемого стержня с абсолютно жесткой плитой, об ударе стержня по деформируемой плите. Все анализируемые случаи относятся к удару стержня торцом.

В публикуемой работе исследуется напряженно-деформированное состояние стержня при ударе частью боковой поверхности по абсолютно жесткому штампу («рубящий удар»).

1. Система уравнений динамики сжимаемого упругопластического тела может быть записана в виде

$$\rho \mathbf{U}^* = \nabla \cdot \boldsymbol{\sigma}, \quad \mathbf{V}^* / V = \nabla \cdot \mathbf{U}, \quad E^* = \mathbf{V} \boldsymbol{\sigma} \cdot \boldsymbol{\varepsilon}^* \quad (1.1)$$

$$\mathbf{V} = \rho_0 / \rho, \quad \boldsymbol{\sigma} = P\mathbf{I} + \mathbf{S}, \quad \boldsymbol{\varepsilon}^* = 1/2[(\mathbf{V}\mathbf{U})^* + (\mathbf{V}\mathbf{U})]$$

Определяющие соотношения

$$\frac{D}{Dt} \mathbf{S} + \lambda \mathbf{S} = 2\mu \left(\boldsymbol{\varepsilon}^* - \frac{1}{3} \frac{\mathbf{V}^*}{V} \mathbf{I} \right), \quad P = P(V, E) \quad (1.2)$$

Критерий текучести Мизеса

$$I_2 = 1/3 \sigma_s^2 \quad (1.3)$$

Здесь ρ_0 и ρ — плотность среды в начальном и деформированном состоянии, \mathbf{U} — вектор скорости, P — первый инвариант тензора напряжений, \mathbf{S} — девиатор тензора напряжений, \mathbf{I} — единичный тензор, $\boldsymbol{\varepsilon}^*$ — тензор скорости деформации, символ (*) означает операцию транспонирования, $\boldsymbol{\sigma} \cdot \boldsymbol{\varepsilon}^*$ — двойное скалярное произведение тензоров $\boldsymbol{\sigma}$ и $\boldsymbol{\varepsilon}^*$, E — внутренняя энергия, $1/2 S_{ij} S_{ij} = J_2$ — второй инвариант тензора напряжений, μ — модуль сдвига, σ_s — предел текучести, D/Dt — производная в смысле Яумана.

Параметр $\lambda = 0$ при упругих деформациях и определяется из (1.2) с помощью (1.3) при переходе среды в пластическое состояние. Эти свойства параметра λ могут быть записаны в виде единого аналитического выражения [3]. Введем обозначения: ω_1 — поверхность стержня, свободная от нагрузок, ω_2 — часть боковой поверхности, соприкасающаяся с жестким гладким штампом, Ω — область, занятая стержнем.

Для замкнутой системы уравнений (1.1)–(1.3) ставится краевая задача с начальными условиями при $t=0$ в области Ω и граничными на ω_1 и ω_2 :

$$\mathbf{V}(\xi_i, 0) = 1, \quad \boldsymbol{\sigma}(\xi_i, 0) = 0, \quad \mathbf{U}(\xi_i, 0) = \mathbf{u}(\xi_i) \quad (1.4)$$

$$E(\xi_i, 0) = 0 \quad \text{при } \xi_i \in \Omega \quad (i=1, 2, 3)$$

$$\boldsymbol{\sigma} \cdot \mathbf{n} = \mathbf{p}_0, \quad \mathbf{p}_0(\xi_i, t) = 0, \quad (\xi_i \in \omega_1), \quad \mathbf{p}_0 \neq 0 \quad (\xi_i \in \omega_2) \quad (1.5)$$

$$\mathbf{U} \cdot \mathbf{n} = 0, \quad \mathbf{n} \times (\mathbf{P}_0 \times \mathbf{n}) = 0 \quad \text{при } \xi_i \in \omega_2 \quad (1.6)$$

Здесь \mathbf{n} — единичный вектор внешней нормали к ω_2 , $\mathbf{u}(\xi_i)$ — распределение скоростей по стержню в момент времени $t=0$. Если стержень не прилипает к основанию штампа и основание не сопротивляется перемещению тела в направлении, обратном направлению нормали (отскок стержня от штампа), то к условиям (1.6) следует добавить $\mathbf{P}_0 \cdot \mathbf{n} \leq 0$, а на неизвестной, определяемой в ходе решения задачи части границы, где это условие нарушается, следует положить $\mathbf{P}_0 = 0$. Второе условие (1.6) означает отсутствие касательной составляющей вектора силы \mathbf{P}_0 . Отметим, что значение распределенной реакции $\mathbf{n} \cdot \mathbf{P}_0$ на основании штампа является неизвестной функцией и определяется в ходе решения задачи.

2. Для решения сформулированной в п. 1 краевой задачи применим численный метод в переменных Лагранжа. Для получения разностных уравнений проинтегрируем первое уравнение (1.1) по объему τ ячеек, окружающих рассматриваемый узел сетки A :

$$\int \rho U^v d\tau = \int \nabla \cdot \sigma d\tau \quad (2.1)$$

Пусть в момент времени t^v известны вектор $U^{v-1/2}$, координаты ξ_i^v во всех узлах сетки и величины σ_i^v , E^v , V^v в центрах ячеек, примыкающих к рассматриваемому узлу A .

Применим к левой части равенства (2.1) теорему о среднем, а к правой части — теорему Остроградского — Гаусса и предположим, что точка A совпадает с точкой внутри объема τ , для которой справедлива теорема о среднем; тогда получим

$$U_A \cdot \int \rho d\tau = \int_F \mathbf{n} \cdot \sigma dF \quad (2.2)$$

Здесь F — поверхность, окружающая выделенный объем τ , \mathbf{n} — единичный вектор внешней нормали к поверхности F .

Заменяя производную по времени U^v разностным соотношением, а интеграл по поверхности — суммой и обозначая $\int \rho d\tau = m$, получим

$$U^{v+1/2} = U^{v-1/2} + \frac{\Delta t^v}{m} \sum_{i=1}^N (\mathbf{n} \cdot \sigma_i^v) F_i^v \quad (2.3)$$

где $\Delta t^v = t^{v+1} - t^v$, F_i^v — площадь поверхности i -й ячейки, примыкающей к узлу A , $(\mathbf{n} \cdot \sigma)_i^v$ — вектор напряжений, действующий на площадке F_i^v , N — число поверхностей F_i^v .

После вычисления по уравнениям (2.3) вектора скорости $U^{v+1/2}$ могут быть вычислены перемещения точек среды, изменение объема τ каждой ячейки, тензор скорости деформации, девиатор тензора напряжений и изменение относительного объема V , поскольку масса каждой лагранжевой ячейки постоянна.

Для уравнения энергии применим следующую аппроксимацию:

$$E^{v+1} = E^v + 1/2 V^{v+1/2} (\sigma^{v+1} + \sigma^v) \cdot \epsilon^{v+1/2} \quad (2.4)$$

Учитывая описанный выше порядок вычислений и то, что для первого инварианта тензора напряжений используется уравнение в форме Ми — Грюнайтзена, можно легко выписать явную формулу для вычисления E^{v+1} . Если применяется другой вид зависимости $P(V, E)$, не допускающий явного разрешения относительно внутренней энергии, то должен быть применен итерационный процесс [4].

К тензору σ добавляется тензор искусственной вязкости, состоящий из шаровой и девиаторной части. В шаровую часть тензора напряжений аддитивно входит линейная и квадратичная искусственные вязкости, а к девиаторной части добавляется искусственная вязкость типа Навье — Стокса [4].

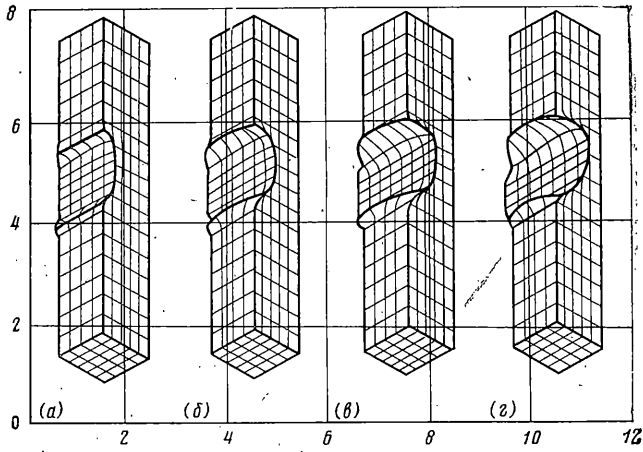
3. Сформулированная в п. 1 задача численно решена на ЭВМ БЭСМ-6 с привлечением внешних запоминающих устройств.

Остановимся на анализе численного решения краевой задачи, когда по штампу с плоским основанием ударяет стержень квадратного поперечного сечения и отношение длины стержня l к стороне основания a , $l/a=4$. Вектор скорости u имеет одну компоненту, направленную по нормали к основанию штампа, шириной a . Это направление нормали совпадает с координатной осью z декартовой системы координат, т. е. вектор u в начальных условиях (1.4) имеет компоненты $(0, 0, u_0)$ и $u_0 = 0,14c_0$ (c_0 — скорость продольной упругой волны). Постоянные, идентифицирующие материал стержня и конкретное выражение зависимости $P(V, E)$ в (1.2), приведены в [5].

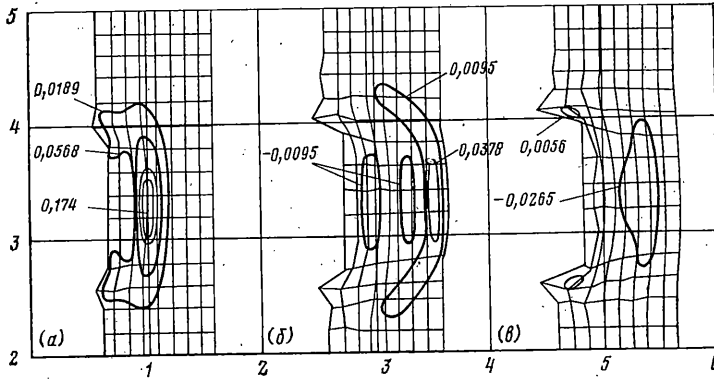
Отнесем время процесса ко времени пробега упругой волны со скоростью c_0 расстояния a и обозначим вновь введенное время t . На фиг. 1 представлены пространственные картины деформации стержня при рубящем ударе, выполненные в изометрической проекции, отвечающие моментам времени $t=0,58; 1,154; 1,73; 2,67$ (фиг. 1, $a-z$ соответственно). В процессе решения линии равных значений напряжений (изобары) строились во всех сечениях стержня плоскостями на расстояниях, равных шагу сетки для детального анализа волновой картины.

Рассмотрим волновую картину в двух плоскостях. Выберем одну из плоскостей проходящую через середину боковых граней и перпендикулярную поверхности штампа (фиг. 2), в качестве другой (фиг. 3) возьмем проекцию координат точек сетки, отстоящих в первоначальный момент на расстоянии, равном шагу сетки от плоскости контакта на плоскость, параллельную поверхности штампа.

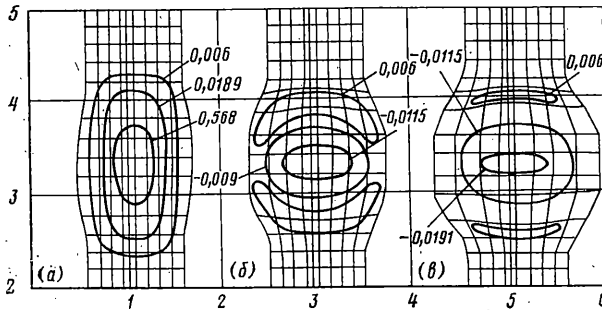
На фиг. 2, 3 представлены изобары напряжения $\sigma_z / \rho_0 c_0^2$ для трех первых моментов времени (фиг. 1). В момент времени $t=0,58$ (фиг. 2, a) фронт пластической ударной волны находится на расстоянии $a/2$ от свободной поверхности стержня, противоположной той грани, по которой наносится удар. Волны разгрузки, идущие от части свободной поверхности грани, с которой контактирует штамп, и от боковых граней, уже ослабили ударную волну (фиг. 2, a). Отметим существенное влияние волн разгрузки, идущих от боковых граней (фиг. 3, a).



Фиг. 1



Фиг. 2



Фиг. 3

В момент времени $t=1,154$ пластическая ударная волна начинает отражаться от свободной поверхности (фиг. 2, б), имеются две зоны растягивающих напряжений $\sigma_z / \rho_0 c_0^2 = -0,0095$. Эти зоны растягивающих напряжений образуются за счет боковых волн разгрузки. На фиг. 3, б видно, что в зоне, прилегающей к поверхности штампа, возникают значительные растягивающие напряжения и происходит отход центральной области контакта стержня от основания штампа. Значения отрицательных напряжений в отмеченных зонах превосходит предел прочности материала на разрыв, с учетом того, что разрывающие напряжения действуют достаточно длительное время, в этих зонах произойдет разрушение материала стержня.

На фиг. 2, в показана зона отрицательных напряжений, сформировавшихся в результате интерференции волн разгрузки, идущих от свободных поверхностей и отраженной ударной волны. В центральной части стержня, примыкающей к зоне контакта (фиг. 3, в), $\sigma_z / \rho_0 c_0^2$ также являются растягивающими. Значения напряжений в отмеченных зонах превосходит предел прочности на разрыв. Отметим также интенсивное пластическое течение в зоне, прилегающей к поверхности контакта.

Интенсивное сдвиговое течение приводит к «выплеску» материала и образованию «венчика» (фиг. 1).

Экспериментально наблюдаемая картина отвечает рассмотренному выше процессу. Стержень при ударе по абсолютно жесткому штампу разламывается на две части в центре. Над плоскостью штампа образуются осколки разной величины, а концы стержня продолжают двигаться с почти начальной скоростью удара, оставаясь целыми.

ЛИТЕРАТУРА

1. *Jonas G. H., Zukas J. A.* Mechanics of penetration: analysis and experiment.— Intern. J. Engng Sci., 1978, v. 16, No. 11, p. 879–903.
2. *Sedgwick R. T., Hageman L. J., Herrmann R. G., Waddell J. L.* Numerical investigations in penetration mechanics.— Internat. J. Engng Sci., 1978, v. 16, No. 11, p. 859–869.
3. *Григорян С. С.* Об основных представлениях динамики грунтов.— ПММ, 1960, т. 24, вып. 6, с. 1057–1072.
4. *Уилкинс М. Л.* Расчет упругопластических течений.— В кн.: Вычислительные методы в гидродинамике. М.: Мир, 1967, с. 242–263.
5. *Гриднева В. А., Корнеев А. И., Трушков В. Г.* Численный расчет напряженного состояния и разрушения плиты конечной толщины при ударе бойками различной формы.— Изв. АН СССР. МТТ, 1977, № 1, с. 146–157.

Томск

Поступила в редакцию
3.IV.1984

Технический редактор *Т. В. Скворцова*

Сдано в набор 05.12.85 Подписано к печати 02.02.86 Т-03427 Формат бумаги 70×108^{1/16}
Высокая печать Усл. печ. л. 16,8 Усл. кр.-отг. 24,1 тыс. Уч.-изд. л. 18,3 Бум. л. 6,0
Тираж 1421 экз. Зак. 2054

Ордена Трудового Красного Знамени издательство «Наука»,
103717 ГСП, Москва, К-62, Подсосенский пер., 21
2-я типография издательства «Наука», 121099, Москва, Г-99, Шубинский пер., 6